

Rechnerarchitektur

Leistung

Univ.-Prof. Dr.-Ing. Rainer Böhme

Wintersemester 2020/21 · 20. Jänner 2021

Gliederung

- 1. Leistungsmessung**
2. Caches: Optimierung des Speicherzugriffs
3. Pipelines: Optimierung der CPU-Nutzung

Leistung

Allgemeine Definition aus der **Physik**:

$$\text{Leistung} = \frac{\text{Arbeit}}{\text{Zeit}}$$

Arbeit in der **Informatik**: i. d. R. Rechenoperationen

- Instruktionen allgemein → MIPS (*million instructions per second*)
- Integer-Operationen → MOPS (*million operations per second*)
- Gleitkommaoperationen → FLOPS (*floating point operations . . .*)
- . . .

Die Einheiten lassen sich nur sehr begrenzt ineinander umrechnen.

Leistungsverhältnis

Bei **konstanter Arbeit**:

$$\text{Beschleunigung } S = \frac{\text{Ausführungszeit unter Referenzbedingungen}}{\text{Ausführungszeit unter Testbedingungen}}$$

Beispiele

1. **Referenzbedingung:** Smartphone aus dem Jahr 2018
Testbedingung: Smartphone von heute

$S = 2$ bedeutet, das neuere Smartphone ist doppelt so leistungsfähig.

2. **Referenzbedingung:** Bubble-Sort-Algorithmus auf Intel 8086
Testbedingung: Quicksort-Algorithmus auf Intel 8086

$S = 4$ bedeutet, Quicksort ist (für die gewählten Daten, insb. Datenmenge) viermal schneller.

Grund: weniger Instruktionen

Amdahlsches Gesetz

Annahme Anteil α (z. B. in %) eines Programms lässt sich um Faktor c beschleunigen

Es gilt:

$$S = \frac{t}{(1 - \alpha) \cdot t + \alpha \cdot \frac{t}{c}} = \frac{1}{(1 - \alpha) + \frac{\alpha}{c}}$$

Beispiel

- 20 % der Ausführungszeit wird für Divisionen benötigt.
- Spezielle Hardware (z. B. Koprozessor) beschleunigt die Division um den Faktor $c = 10$.
- Rechnerische Beschleunigung $S = 1.219512$

Amdahl 1967 (für Parallelisierung)

Messung der Ausführungszeit

Verwendung von **Hardwarezählern** zur Messung der CPU-Zyklen

- Zugriff bei ARM über Koprozessor 15, Mnemonics MRC und MCR*
- Berechnung der Ausführungszeit über Zykluszeit Δt bzw. Taktfrequenz $1/\Delta t$.
- Unterscheidung **Gesamtzeit** (inkl. Interrupts, Betriebssystem, Festplattenzugriffe) und **CPU-Zeit** (ohne Wartezeit auf E/A-Geräte)

Einflussfaktoren auf die Leistung eines Programms

Implementierung

- Algorithmus
- Programmiersprache
- Compiler
- Optimierungsstufe

Ausführungsumgebung

- Befehlssatzarchitektur
- Mikroarchitektur
- Betriebssystem
- sonstige Hardware

* in dieser Vorlesung nicht behandelt

Leistung und Leistungsabruf

- **Maximale Leistung** (*peak performance*)
Theoretisches Maximum, unter Idealbedingungen
kurzfristig erreichbar
- **Durchschnittliche Leistung** (*average performance*)
Erwartungswert bei typischen Aufgaben
- **„Nachhaltige“ Leistung** (*sustained performance*)
Unterschranke für die über den gesamten Lebenszyklus
versprochene Leistung eines Gesamtsystems
oder von Komponenten mit Verschleißeffekten (z. B. Flash-Speicher)

Methodische Schwierigkeiten

bei der Leistungsmessung

Beim **Vergleich von Implementierungen** auf definierter Architektur:
(d. h. Hardware und Systemsoftware)

- Granulare Messung einzelner Programmteile
→ Messfehler durch künstliche Aufrufbedingungen
(Rückwirkungsabweichung)
- Grobe Messung ganzer Programmläufe
→ Messfehler durch Umgebungseinflüsse
(z. B. Unterbrechungsanforderungen)

Beim **Vergleich von Architekturen:**

- Wahl vergleichbarer Aufgaben und Implementierungen
- Bei Datenabhängigkeit: Wahl der Testdaten

Weitere Unschärfe durch die Verbreitung von **Virtualisierungstechniken**

Benchmarks

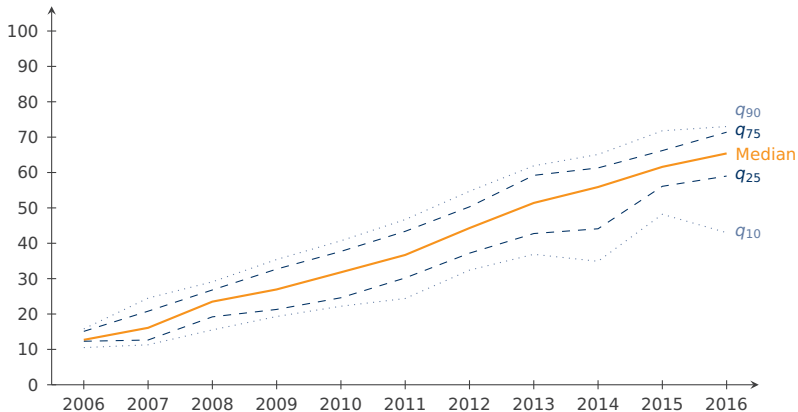
Spezialsoftware zur Leistungsmessung, simuliert typische Arbeitslast

- **Synthetische Benchmarks** messen Instruktionen pro Sekunde: z. B. **Whetstone** für Gleitkomma-, **Dhrystone** für Ganzzahloperationen
- **Kernels** sind ausgewählte Algorithmen, die sich als Benchmark etabliert haben: z. B. **LINPACK**
- **Mikrobenchmarks** sind auf die Messung einzelner Komponenten (z. B. Speicheranbindung, Grafik) spezialisiert
- **Benchmark-Suiten** enthalten verschiedene, gut portierbare Programme aus unterschiedlichen Anwendungsgebieten: z. B. **Standard Performance Evaluation Corporation (SPEC)** misst Leistungsverhältnis (aktuell in der Version 2017)

Leistungsentwicklung

SPEC 2006 Integer-Benchmarks

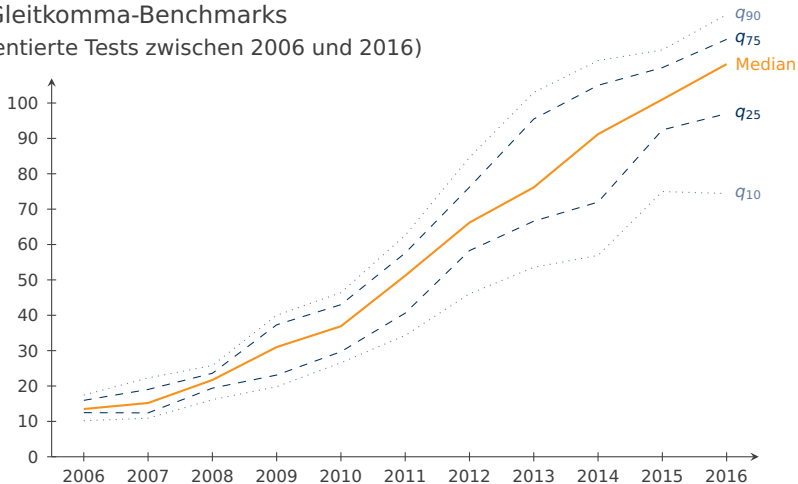
(8131 dokumentierte Tests zwischen 2006 und 2016)



Daten von www.spec.org/cpu2006/results

Leistungsentwicklung

SPEC 2006 Gleitkomma-Benchmarks
(7972 dokumentierte Tests zwischen 2006 und 2016)



Daten von www.spec.org/cpu2006/results

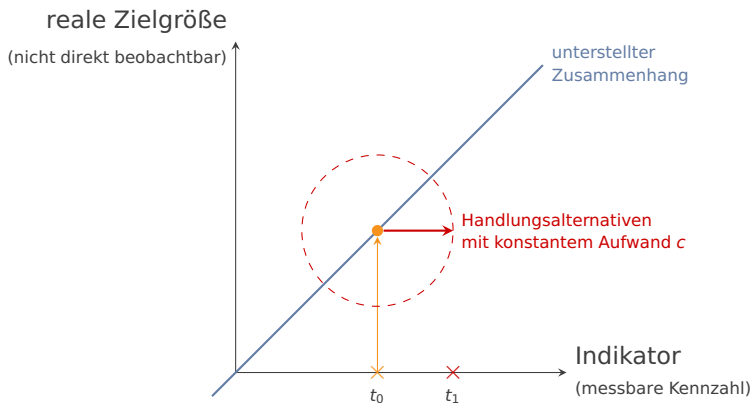
Grundsätzliche Schwierigkeiten

bei der Leistungsmessung komplexer Systeme mit einfachen Kennzahlen



vgl. z. B. Campbell 1976, Goodhart 1981; Illustration: xkcd.com

Rationale Reaktion: Überanpassung



Folge: Kennzahlen verlieren Aussagekraft, Verhaltensanreize verfehlen Ziel

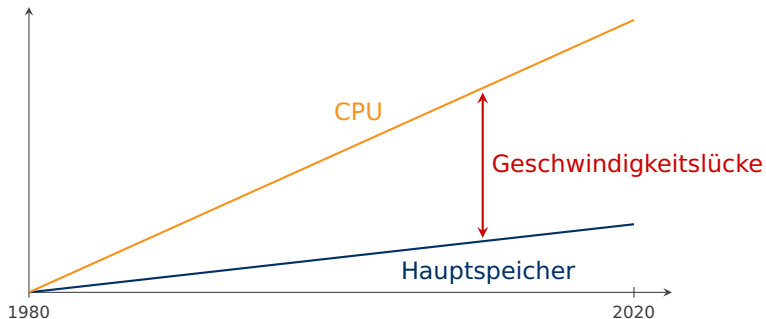
Gliederung

1. Leistungsmessung
2. **Caches: Optimierung des Speicherzugriffs**
3. Pipelines: Optimierung der CPU-Nutzung

Geschwindigkeitslücke (W)

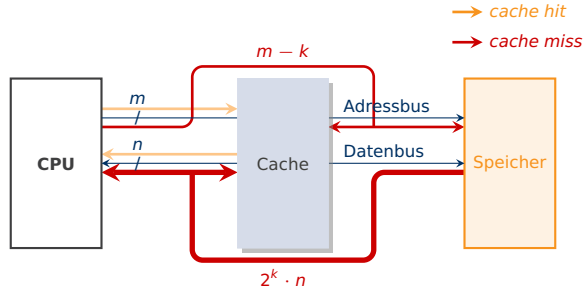
Seit 1980 wächst die Geschwindigkeit des ...

- Hauptspeichers um 7 % pro Jahr
- Prozessors um 50 % pro Jahr



Anbindung des Cache an CPU und Speicher

Der Cache ist ein kleiner, schneller, mit SRAM realisierter Pufferspeicher.

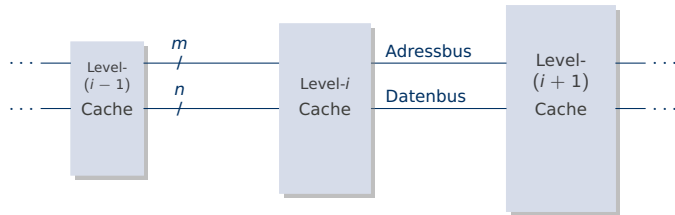


Vision

- Vorhersage, auf welche Speicherzelle die CPU als nächstes zugreift
- Daten schon im Vorfeld im Cache ablegen (*read ahead*)

Cache-Hierarchie

Ein oder mehrere Cache-Ebenen bleiben für die CPU **transparent**.



Lokalitätsprinzip

Ziel: Vorhersage der Adressen von wahrscheinlichen Lesezugriffen

- **Zeitliche Lokalität:** Hohe Wahrscheinlichkeit, dass eine Speicheradresse wiederholt verwendet wird (z. B. bei Schleifen)
→ **Verwendete Adressen und Inhalte puffern.**
- **Räumliche Lokalität:** Hohe Wahrscheinlichkeit, dass auf benachbarte Elemente zugegriffen wird (z. B. bei Arrays)
→ **Alle benachbarten Speicherworte lesen und puffern.**
(Übertragung von Blöcken aus 2^k Worten im DRAM-Burst-Modus.)

Leistungssteigerung durch Cache-Einsatz

Trefferrate

$$h = \frac{\text{Anzahl } \textit{cache hits}}{\text{Anzahl } \textit{cache hits} + \text{Anzahl } \textit{cache misses}} \quad (1)$$

Sei

- c die Zugriffszeit auf den Cache z. B. 5 ns
- r die Zugriffszeit auf den Hauptspeicher z. B. 50 ns

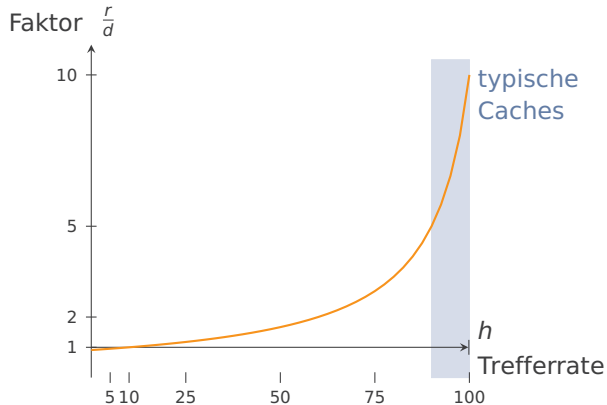
dann ist die **mittlere Speicherzugriffszeit**

$$d = c + (1 - h) \cdot r . \quad (2)$$

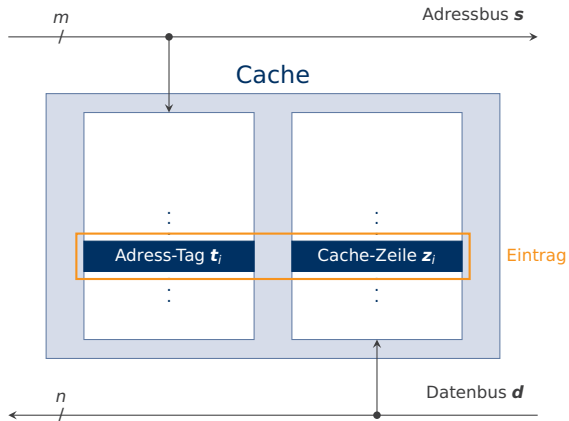
Nachteil: Schlechtere Vorhersagbarkeit des exakten Zeitverhaltens

Grafische Darstellung

der Leistungssteigerung durch Cache-Einsatz



Aufbau eines Caches



Cache-Verwaltung

Reinform 1: vollassoziativ

- Jeder Block des Hauptspeichers kann in jeder beliebigen Cache-Zeile abgespeichert werden.

$$\mathbf{z} \in \{0, 1\}^{n \cdot 2^k}, k \in \mathbb{N} \Rightarrow \mathbf{t} \in \{0, 1\}^{(m-k)}$$

- Verschiedene Verdrängungsstrategien beim Schreibzugriff
- Lesezugriff erfordert Vergleich mit allen Tags \rightarrow **aufwändig**

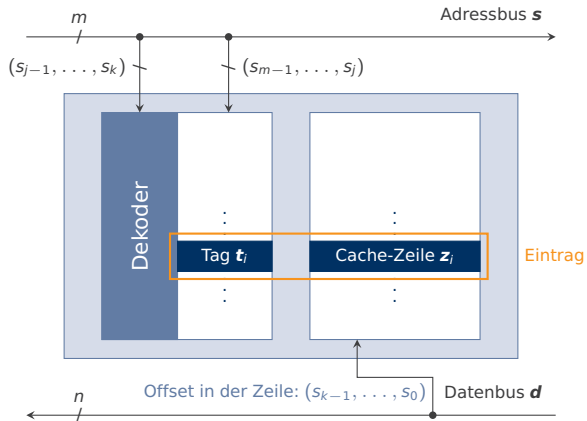
Reinform 2: direkt abgebildet (engl. *direct mapped*, DM)

- Die j niederwertigsten Adressbits definieren eine Cache-Zeile für jeden Block des Hauptspeichers. $j > k \Rightarrow \mathbf{t} \in \{0, 1\}^{(m-j)}$
- Beim Lesezugriff Dekodierung und ein Vergleich

Mischformen z. B. zweifach assoziativer Cache

- Jeder Block des Hauptspeichers kann in einer von zwei definierten Cache-Zeilen abgespeichert werden.

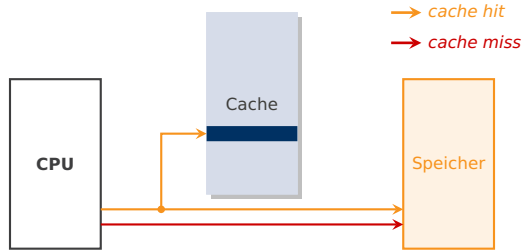
Aufbau eines Caches



Cache-Kohärenz

Sicherung der Konsistenz von Speicher und Cache nach **Schreibzugriff**

Write through-Methode

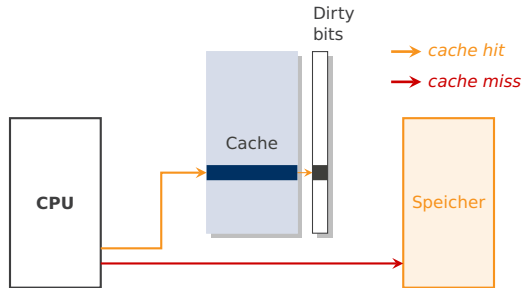


Sofortige Aktualisierung → keine Inkonsistenz

Cache-Kohärenz

Sicherung der Konsistenz von Speicher und Cache nach **Schreibzugriff**

Write back-Methode

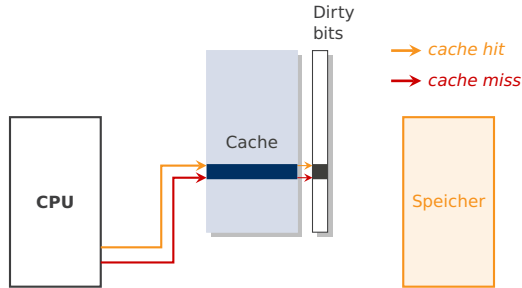


Bei einem Treffer wird nur der Cache aktualisiert. *Dirty bit* zeigt an, dass die Zeile bei Verdrängung zurückgeschrieben werden muss.

Cache-Kohärenz

Sicherung der Konsistenz von Speicher und Cache nach **Schreibzugriff**

Write allocation-Methode



Jeder Schreibzugriff wird zunächst im Cache gepuffert. Es kann zur Verdrängung beim Schreiben kommen.



24 82 94 16

Welche Cache-Architektur verspricht mehr Leistung ?

- a. **Cache 1:** 64 KB vollassoziativer, in die CPU integrierter SRAM-Cache mit Trefferrate $h = 92\%$ und Zugriffszeit 3 ns. Länge der Cache-Zeile: 16 Byte.
- b. **Cache 2:** 4 MB direkt abgebildeter SRAM-Cache zwischen CPU und Hauptspeicher mit Trefferrate $h = 95\%$ und Zugriffszeit 12 ns. Länge der Cache-Zeile: 512 Byte.

In beiden Fällen besteht der Hauptspeicher aus schnellem DRAM mit Zugriffszeit 40 ns.

Zugang: <https://arsnova.uibk.ac.at> mit Zugangsschlüssel **24 82 94 16**. Oder scannen Sie den QR-Kode.

Ansätze zur Cache-„optimierten“ Programmierung

Ursachen für Cache-Fehlzugriffe (*cache misses*)

- Erstbelegung nach Programmstart → *compulsory*
- Verdrängung benötigter Zeilen mangels Kapazität → *capacity*
- Verdrängung benötigter Zeilen durch Konflikte → *conflict*

Maßnahmen zur Erhöhung der Trefferrate

1. Rechtzeitiges Holen durch explizite **Prefetch-Anweisungen** (durch Compiler oder manuell im Assemblerprogramm)
2. **Vermeidung von Konflikten** durch Füllworte (*padding*, oft durch Compiler) und Wahl der Dimensionen von Feldern in Zweierpotenzen
3. **Erhöhung der Lokalität** beim Zugriff auf Daten

Beispiele in C

Datenlayout

Vorher

```
1 | char *name [1000];  
2 | int  matrikelnr [1000];
```

Nachher

```
3 | struct student {  
4 |     char *name;  
5 |     int  matrikelnr;  
6 | } hoerer [1024];
```

Schleifenaustausch

Vorher

```
7 | for (j=0; j<100; j=j+1)  
8 |     for (i=0; i<5000; i=i+1)  
9 |         x[i][j] = 2*x[i][j];
```

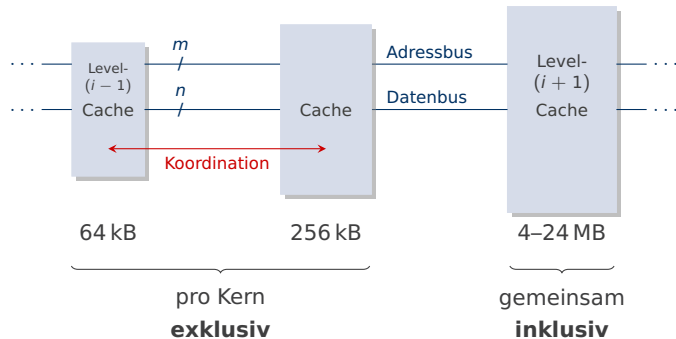
Nachher

```
10 | for (i=0; i<5000; i=i+1)  
11 |     for (j=0; j<100; j=j+1)  
12 |         x[i][j] = 2*x[i][j];
```

Cache-Hierarchie

Ein oder mehrere Cache-Ebenen bleiben für die CPU **transparent**.

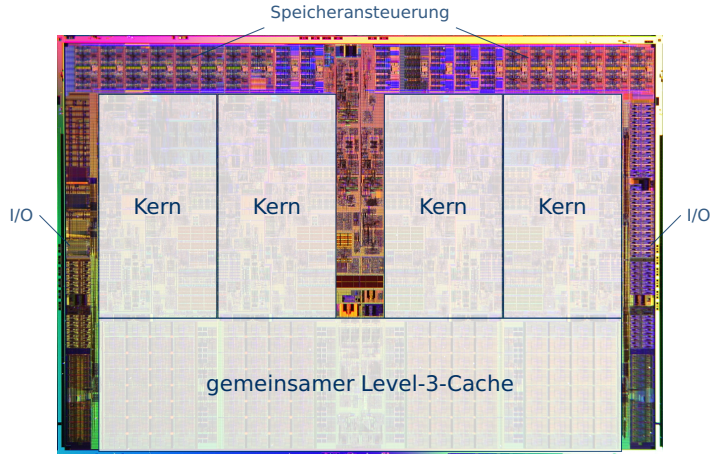
Beispiel: Intel Nehalem-Mikroarchitektur (2008)



- keine Duplikate
- „Absinken“ bei Verdrängung
- unabhängig

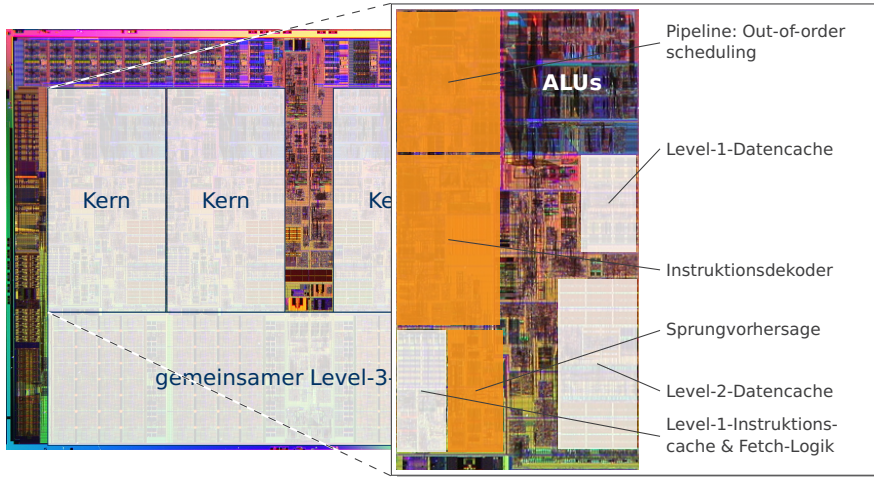
Nutzung der Die-Fläche

bei einem Mehrkernprozessor



nach Hennessy & Patterson 2012, S. 29; Bild: Intel (Nehalem-Architektur von 2010)

Nutzung der Die-Fläche bei einem Mehrkernprozessor



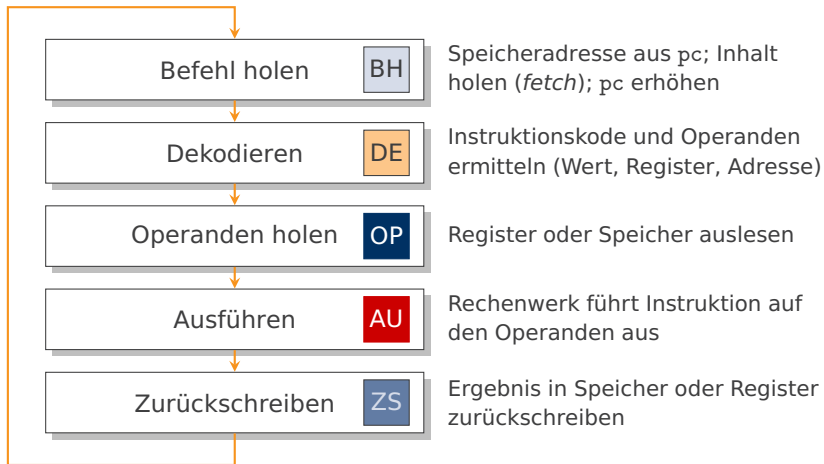
nach Hennessy & Patterson 2012, S. 29; Bild: Intel (Nehalem-Architektur von 2010)

Gliederung

1. Leistungsmessung
2. Caches: Optimierung des Speicherzugriffs
3. **Pipelines: Optimierung der CPU-Nutzung**

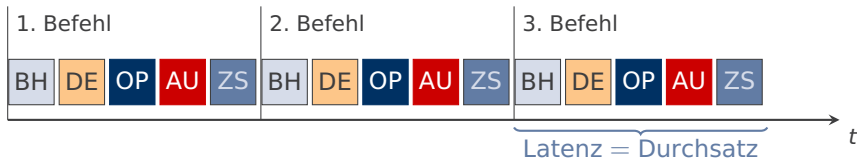
Maschinenbefehlszyklus

Modellablauf in Steuer- und Rechenwerk pro Befehl (hier: RISC)



Prinzip des Pipelinings

Sequenzielle Abarbeitung der Teilschritte



Überlappendes Abarbeiten



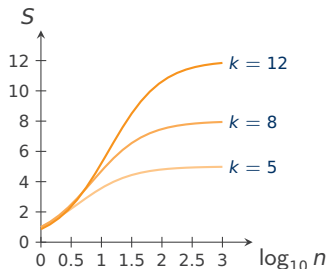
Pro Taktzyklus wird ein Maschinenbefehl abgeschlossen.

Theoretische Leistungssteigerung

Annahmen ideale k -stufige Pipeline, Programm mit n Befehlen,
Zykluszeit Δt , d. h. Taktfrequenz = $1/\Delta t$

Berechnung der **Beschleunigung**

$$S(k) = \frac{\text{Ausführungszeit ohne Pipeline}}{\text{Ausführungszeit mit Pipeline}} = \frac{n \cdot k \cdot \Delta t}{[n + (k - 1)] \cdot \Delta t} \quad (3)$$



$$\lim_{n \rightarrow \infty} S(k) = \frac{n \cdot k}{n + (k - 1)} = k \quad (4)$$

Gründe für Abweichungen in der Praxis

Strukturkonflikte

structural hazard

- Hardware unterstützt Befehlskombination nicht
- **Lösung:** Umordnen (durch Compiler), sonst Leertakte (NOPs)

Datenkonflikte

data hazard

- Operanden noch nicht verfügbar
- **Lösung:** dezidierte *Forwarding*-Logik, sonst wie oben

Steuerkonflikte

control hazard

- Geholter Befehl ist nicht der benötigte (nach Verzweigungen)
- **Lösung:** Sprungvorhersage (*branch prediction*), Anhalten

Operationen mit mehreren Zyklen

- Multiplikation, Division, Gleitkommaoperationen, Kontextwechsel
- **Lösung:** separate Gleitkomma-Pipeline, (Geduld)

Beispiel zur Vermeidung von Datenkonflikten

Aufgabe

$$a = b + c$$

$$d = e - f$$

Langsamer Code

```
LDR r2, b
LDR r3, c
ADD r1, r2, r3
STR r1, a

LDR r5, e
LDR r6, f
SUB r4, r5, r6
STR r4, d
```

Schnellerer Code

```
LDR r2, b
LDR r3, c
LDR r5, e
ADD r1, r2, r3

LDR r6, f
STR r1, a
SUB r4, r5, r6
STR r4, d
```



Annahme: Variablen a–f befinden sich im Speicher relativ zu sp oder pc adressierbar.

Nächste Woche

1. Klausurtermin **hilfsweise als Online-Prüfung**: 27. Jänner 2021, 12:15–12:45 Uhr

Organisatorisches

- Die Prüfung besteht aus 15 Fragen in der Form der Proseminar-Tests.
- Gesamtbearbeitungszeit: 30 Minuten
- Zum Bestehen benötigen Sie 50 % der erreichbaren Punkte. Raten lohnt sich nicht.
- Die Prüfung findet im OLAT-Kurs der **2020W703063 VO Rechnerarchitektur** statt.
- Dort wird am Tag vor der Prüfung ein Probetest erscheinen, den alle korrekt angemeldeten KandidatInnen sehen. Bitte probieren Sie das aus.
- Probleme/Fragen ausschließlich an rechnerarchitektur-informatik@uibk.ac.at.
- Lesen Sie die Mitteilungen im OLAT-Kurs der Vorlesung.

Zulässige Hilfsmittel

- Internet-Browser zum Zugriff auf OLAT
- ARM-Befehlsreferenz (verfügbar als arm.pdf im OLAT)

Hinweise zur Präsenzklausur

Gilt nicht für die Online-Prüfung am ersten Termin !

Meine Prüfungsphilosophie

- Verständnis von Konzepten prüfen, nicht die Kapazität Ihres Kurzzeitgedächtnisses
- Ihre Antworten werden von Menschen korrigiert: Falls Sie Annahmen zur Lösung brauchen, schreiben Sie diese deutlich dazu.
- Raten oder Mehrdeutigkeit zahlen sich nicht aus.
- Allein mit Auswendiglernen erreichen Sie ca. 25 % der Punkte.
- Ohne ARM-Kenntnisse verschenken Sie ca. 25 % der Punkte.



Weitere Informationen finden Sie auf unserer **Webseite** unter <http://informationsecurity.uibk.ac.at/teaching/>.

Hinweise zur Präsenzklausur (Forts.)

Gilt nicht für die Online-Prüfung am ersten Termin !

Organisatorisches

- Warten Sie vor dem Hörsaal bis Sie aufgerufen werden.
- Gemeinsamer Beginn, Bearbeitungszeit 75 Minuten
- Identitätsprüfung mit gültigem **Studentenausweis**
und weiterem amtlichen Lichtbildausweis
- Alle zu bewertenden Antworten ausschließlich auf Klausurpapier
- Ergebnisbekanntgabe im OLAT anhand von Klausur-ID

Zulässige Hilfsmittel

- Stift, Geodreieck, nicht-programmierbarer Taschenrechner
- ARM-Referenz wird bereitgestellt (identisch wie im OLAT)

Sonst keine elektronischen Geräte am Platz !

(Ausschalten reicht nicht.)

Syllabus – Wintersemester 2020/21

07.10.20	1. Einführung
14.10.20	2. Kombinatorische Logik I
21.10.20	3. Kombinatorische Logik II
28.10.20	4. Sequenzielle Logik I
04.11.20	5. Sequenzielle Logik II
11.11.20	6. Arithmetik I
18.11.20	7. Arithmetik II
25.11.20	8. Befehlssatzarchitektur (ARM) I
02.12.20	9. Befehlssatzarchitektur (ARM) II
09.12.20	10. Prozessorarchitekturen
16.12.20	11. Ein-/Ausgabe
13.01.21	12. Speicher
20.01.21	13. Leistung
27.01.21	Klausur (1. Termin)